

# ИССЛЕДОВАНИЕ ТОЧЕЧНОГО КАНАЛА СВЯЗИ С ЛОКОМОТИВОМ

Рожнев А.Ю.

Уральский государственный университет путей сообщения, г. Екатеринбург  
[alexon@k66.ru](mailto:alexon@k66.ru)

Ключевые слова: БЧХ-коды, биты CRC, хэш-функция

Точечный канал связи с локомотивом (ТКС-Л) предназначен для передачи сигналов локомотивной сигнализации от стационарных устройств СЖАТ к локомотивным устройствам безопасности. Система ТКС-Л состоит из стационарного и локомотивного комплектов. В состав стационарного комплекта входят путевые приемоответчики (ПП) и устройства сопряжения с аппаратурой СЖАТ (УСО-ЖАТ). В состав локомотивного комплекта входят локомотивный считыватель (СПП) и устройство сопряжения с локомотивным устройством безопасности (УСО-ЛС).

Коды Боуза–Чоудхури–Хоквингема (БЧХ) – это широкий класс циклических кодов, применяемых для защиты информации от ошибок[4]. Особенностью является построение кода с заранее определёнными корректирующими свойствами – минимальным кодовым расстоянием. При декодировании принятого слова  $\tilde{x}$  в качестве решения декодера принимается слово  $x$ , в

шар радиуса  $t = \frac{d-1}{2}$  от которого попадает принятое слово, то есть

$$(1) \quad d_H(x, \tilde{x}) \leq \left\lfloor \frac{d-1}{2} \right\rfloor,$$

где  $d_H(\bullet, \bullet)$  – расстояние в метрике Хэмминга.

Если число обнаруженных ошибок больше  $t = \frac{d-1}{2}$ , то декодер выносит решение о невозможности исправить слово; используются 127-битные и 255-битные слова (европейский стандарт передачи данных).

Шар радиуса 10 с центром  $x$  содержит все слова, отличающиеся от  $x$  в  $i$  координатах, где  $i \in \{0, 1, \dots, t\}$ . Поэтому шар с центром в  $x$  содержит точно

$$|B_t| = |B_t(x)| = \sum_{i=0}^t \binom{n}{i} = 2,2828 \cdot 10^{14} \text{ слов.}$$

Вероятность того, что случайная последовательность символов  $u$  попадет в один из шаров вокруг кодовых слов, равна отношению числа исправляемых слов к общему числу двоичных слов размера  $n$ :

$$(2) \quad \Pr = \frac{|C||B_t|}{2^n} = \frac{2^k \sum_{i=0}^t \binom{n}{i}}{2^n} = \frac{2,2828 \cdot 10^{14}}{2^{127-64}}$$

По результатам  $k = 100000$  модельных испытаний для 127-битных слов получены следующие результаты: время моделирования – 4 ч, событий «ложный приём» на выходе декодера БЧХ –  $m = 1$ .

Оценим согласие полученной при моделировании оценки вероятности  $Pr_m = 10^{-5}$  с ранее выведенной гипотезой  $Pr = 2,48 \cdot 10^{-5}$ . Для этого воспользуемся вторым неравенством Чебышева. В нашем случае величина вероятности  $Pr_m = \frac{m}{k}$  является случайной величиной с математическим ожиданием (что предполагается в нулевой гипотезе), равным  $p = Pr$ .

Для любого  $\varepsilon > 0$  согласно неравенству Чебышева имеем

$$(3) \quad Pr \left\{ \left| \frac{m}{k} - p \right| \geq \varepsilon \right\} \leq \frac{p(1-p)}{\varepsilon^2 k}.$$

Нулевая гипотеза (согласие) принимается, если правая часть неравенства не меньше выбранного уровня значимости  $\alpha$ . Используемыми на практике уровнями значимости являются величины  $\alpha = 0.01, 0.05, 0.1$ .

В нашем случае  $\varepsilon = 1,48 \cdot 10^{-5}$  и

$$(4) \quad \frac{p(1-p)}{\varepsilon^2 k} = 1,11,$$

что позволяет принять гипотезу о согласии полученных при моделировании результатов с теоретическими выводами.

Вероятность трансформации нулевого кодового слова в слово  $\bar{0} + e$  ( $e$  - вектор ошибок) из шара радиуса 10 с центром в некотором кодовом слове  $\bar{x}$  веса  $j$  равна

$$(5) \quad Pr \{d(\bar{0} + e, \bar{x}) = r\} = \sum_{v=0}^r \binom{j}{v} \binom{n-j}{r-v} p^{j-v} q^v p^{r-v} q^{n-j-(r-v)} = \sum_{v=0}^r \binom{j}{v} \binom{n-j}{r-v} p^{j+(r-2v)} q^{n-j-(r-2v)}.$$

Окончательно:

$$(6) \quad Pr \{\bar{0} + e \in B_l(\bar{x})\} = Pr \{d(\bar{0} + e, \bar{x}) = r\} = \sum_{r=0}^l \sum_{v=0}^r \binom{j}{v} \binom{n-j}{r-v} p^{j+(r-2v)} q^{n-j-(r-2v)}.$$

Вероятность отсутствия обнаружения ошибки равна сумме вероятностей трансформации слова веса 0 в слово веса  $j$  для всех допустимых значений  $j$ :

$$(7) \quad Pr_m = \sum_{j=0}^n n_j \sum_{r=0}^l \sum_{v=0}^r \binom{j}{v} \binom{n-j}{r-v} p^{j+(r-2v)} q^{n-j-(r-2v)},$$

где  $n_j$  - количество кодовых слов веса  $j$ .

Вероятность обнаружения ошибочной последовательности декодером БЧХ (но не исправления), то есть потери пакета, равна

$$(8) \quad Pr_p = 1 - Pr \{w(e) \leq t\} - Pr_m.$$

Вероятность, что вес вектора ошибки не больше исправляющей емкости кода, равна

$$(9) \quad Pr \{w(e) \leq t\} = \sum_{i=0}^l \binom{n}{i} p^i q^{n-i}.$$

В блоке контроля проверочных символов CRC подлежат оценке следующие величины:

- вероятность совпадения значения поля контрольной суммы в пакете случайных данных с действительной контрольной суммой принятой последовательности,
- вероятность совпадения контрольной суммы в поврежденном пакете (неверно декодированным БЧХ-декодером).

Используемый метод CRC (ССИТТ) имеет следующие параметры:

- длина кодового слова  $n = 64$ ,
- количество информационных символов  $k = 48$ ,
- минимальное кодовое расстояние  $d = 4$  (код гарантированно обнаруживает 1 ошибку и большинство ошибок кратности 2 и 3),
- порождающий полином  $x^{16} + x^{12} + x^5 + 1$ ,
- начальное значение регистра 0xFFFF,
- XOR с окончательным значением регистра не производится.

Полный CRC код образуется из циклического кода Хэмминга с параметрами  $(2^m - 1, 2^m - 1 - m, 3)$  удалением одного информационного бита и последующим расширением этого кода через добавление одного бита дополнительной проверки на четность. Полученный код остается циклическим. Все кодовые слова таких кодов имеют четный вес, поэтому CRC-код обнаруживает все ошибки нечетного веса, кроме того, кодовое расстояние увеличивается на 1 (по сравнению

с кодом Хэмминга) и равно 4, поэтому также обнаруживаются все ошибки веса не более 3. В частности, полный код CRC-16 имеет параметры (32767, 32751) ( $m=15$ ).

Всего различных кодовых слов в используемом коде  $C$  имеется

$$(10) \quad |C| = 2^k = 2^{48}.$$

Вероятность того, что случайная последовательность символов совпадет с одним из кодовых слов, не превышает отношения числа кодовых слов к общему числу двоичных слов размера  $n$ :

$$(11) \quad Pr \leq \frac{|C|}{2^n} = \frac{2^{48}}{2^{64}} \approx 1,53 \cdot 10^{-5}.$$

По результатам  $k=100000$  испытаний получено  $m=1$  событие, в котором случайное слов длиной в 64 бита не было отбраковано контролем проверочных бит CRC. Таким образом, оценка вероятности по результатам моделирования  $Pr_m = 10^{-5}$ , что хорошо согласуется с ранее выведенной гипотезой  $Pr = 1,53 \cdot 10^{-5}$ .

Допустим, что при передаче произошло ошибок больше, чем допускает обнаруживающая способность кода БЧХ, и в результате передаваемое кодовое слово трансформировалось в другое кодовое слово. Это означает, что кодовое слово по решению декодера БЧХ и передаваемое кодовое слово отличаются, по крайней мере, в  $d=21$  позиции. Следовательно, вероятность  $p_i$  того, что  $i$ -й символ в кодовом слове по решению БЧХ-декодера отличается от  $i$ -го символа в передаваемом слове БЧХ не меньше, чем

$$(12) \quad p_i \geq \frac{21}{127}.$$

Тогда вероятность того, что расстояние Хэмминга между извлеченным (из принятого по решению БЧХ-декодера кодового слова) информационным словом (длиной 64 бита) и передаваемым информационным словом равно  $d$  символов, есть

$$(13) \quad \binom{64}{d} p_i^d (1-p_i)^{64-d}.$$

Пусть  $Pr_{CRCerr.}(d)$  - вероятность совпадения контрольной суммы CRC-16 в информационном слове, находящемся на расстоянии  $d$  от передаваемого информационного слова. Тогда полная вероятность необнаружения ошибки контролем проверочных символов CRC16 равна

$$(14) \quad Pr_{CRCerr.}(p_i) = \sum_{d=2}^{p_i \cdot n} \binom{64}{d} p_i^d (1-p_i)^{64-d} Pr_{CRCerr.}(d).$$

Вероятность  $Pr_{CRCerr.}(d)$  оценена с помощью моделирования. Последовательность шагов моделирования:

- генерируем случайное слово  $y$  длиной 48 бит,
- вычисляем вектор проверочных символов  $y_{CRC16}$  CRC-16 для  $y$ ,
- добавляем к слову ( $y, y_{CRC16}$ ) шум  $e$  веса  $d$ ,
- осуществляем контроль проверочных символов CRC16 для переданного зашумленного слова.

Расчет этой вероятности дает значение

$$(15) \quad Pr_{CRCerr.}(p_i) \approx 1,9 \cdot 10^{-5}$$

при  $p_i = \frac{21}{127}.$

Теперь рассмотрим теоретическую границу для вероятности необнаруженной ошибки контролем проверочных символов CRC-16 (для случая нулевого начального регистра) с длиной

сообщения 48 бит. Такой код будет линейным подкодом кода с параметрами (32767, 32751), порожденного полиномом

$$(16) \quad g(x) = x^{16} + x^{12} + x^5 + 1 = \sum_{i=0}^r g_i x^i,$$

где  $r=16$  – число проверочных символов.

Проверочный полином такого кода определяется из соотношения

$$(17) \quad h(x) = \frac{x^{2^m-1} - 1}{g(x)} = \sum_{i=0}^{n-r} h_i x^i,$$

где  $m=15$  и  $n=2^m-1$  есть длина полного циклического кода CRC-16.

При вероятности ошибки в одном бите принятого кодового слова CRC-16, равной  $p_l$ , вероятность необнаруженной ошибки контролем проверочных символов CRC-16 (с длиной сообщения 48 бит) равна

$$(18) \quad Pr_{CRCerr.}(p_l) = \sum_{i=1}^n A_i p_l^i (1-p_l)^{n-i},$$

где  $\{A_i\}_{i=0}^n$  – распределение весов (весовой спектр) рассматриваемого укороченного циклического кода CRC-16. Общего метода для вычисления весового спектра линейных кодов не существует (NP-полная задача), поэтому требуется вычислительный эксперимент. Благодаря тому, что мы рассматриваем вычисление CRC с нулевым начальным регистром, такой код будет линейным, и этой линейностью мы далее воспользуемся для эффективного вычисления спектра.

Для этого нам потребуется тождество Мак-Вильямс. Пусть  $C$  – линейный код с параметрами  $(n, k)$  и весовым спектром  $\{A_i\}_{i=0}^n$ , а  $C^n$  – ортогональный ему  $(n, n-k)$  – код с весовым спектром  $\{B_i\}_{i=0}^n$ . Обозначим

$$(19) \quad A(x) = \sum_{i=0}^n A_i \cdot x^i, \quad A(x) = \sum_{i=0}^n B_i \cdot x^i.$$

Тогда имеется тождество

$$(20) \quad q^k B(x) = (1 + (q-1)x)^n A\left(\frac{1-x}{1+(q-1)x}\right),$$

где  $q=2$  – характеристика поля, над которым определен код.

Более того, в этих обозначениях выражение (19) переписывается в виде:

$$(21) \quad Pr_{CRCerr.}(p_l) = (1-p_l)^n (A(p_l) - A_0).$$

В нашем случае размерность пространства информационных символов ортогонального кода равна  $64-48=16$ .

Так как спектр кода и ортогонального ему кода однозначно связаны тождеством Мак-Вильямс, то нам достаточно вычислить спектр ортогонального кода. Для размерности 16 это можно сделать очень быстро. Тогда в наших обозначениях,  $n=64, k=16$ , и

$$(22) \quad Pr_{CRCerr.}(p_l) = (1-p_l)^n (2^{k-n} (1+p_l)^n B\left(\frac{1-p_l}{1+p_l}\right) - 1).$$

Расчет по этой формуле дает значение

$$(23) \quad Pr_{CRCerr.}(p_l) \approx 1,6 \cdot 10^{-5}$$

при  $p_l = \frac{21}{127}$ , что хорошо согласуется с полученным ранее значением.

Рассмотрим помехоустойчивое кодирование с применением кодов Гоппы.

**Определение 1 ([1]).** Кодом Гоппы с конструктивным расстоянием  $d$  называется альтернантный код с конструктивным расстоянием  $d$ , у которого обращение частотного шаблона  $G$  имеет ширину  $d$ . Иначе говоря, обращение частотного шаблона задается многочленом  $G(x)$  степени  $d-1$ , который называется многочленом Гоппы. Кодом Гоппы в узком смысле называется код Гоппы с  $2t$  проверочными частотами с локаторами  $\alpha^{n-2t+1}, \alpha^{n-2t+2}, \dots, \alpha^0$ .

**Теорема 1 ([1]).** Вектор  $c$  является кодовым для кода Гоппы с многочленом Гоппы  $G(x)$  тогда и только тогда, когда

$$(24) \quad \sum_{i=0}^{n-1} c_i [\alpha^{ij} / G(\alpha^{-i})] = 0, j = 0, \dots, 2t-1.$$

**Теорема 2 ([1]).** Минимальное расстояние  $d^*$  и размерность  $k$  кода Гоппы с многочленом Гоппы степени  $2t$  удовлетворяют неравенствам  $d^* \geq 2t+1, k \geq n-2tm$ .

В частотной области коды Гоппы допускают описание с помощью изображенного на рис. 1 устройства с регистром сдвига.

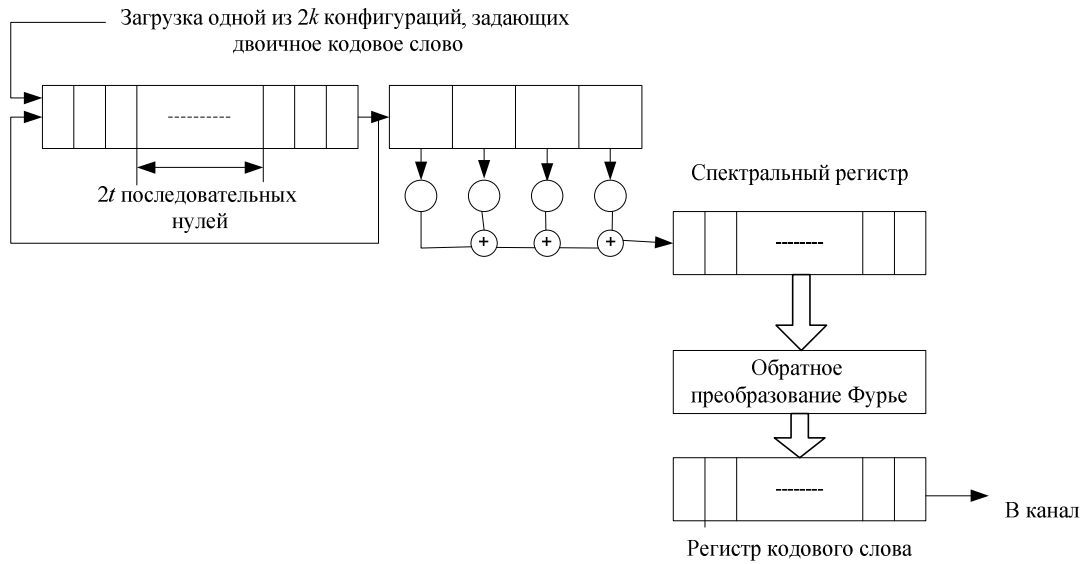


Рис. 1. Частотный кодер для кода Гоппы

Другое описание кодов Гоппы можно дать в следующем виде.

Вместо стандартного введения информации во временную область информация вводится в частотную область – или в спектр или в профильтрованный спектр, как показано на рис. 1, причем в обоих случаях необходимо обеспечить выполнение ограничений сопряженности. Содержащий информацию профильтрованный спектр пропускается через фильтр с конечным импульсным откликом, веса в отводах которого задаются многочленом Гоппы. Фильтр работает циклически: обращение к входу является периодическим. После этого кодовое слово получается обратным преобразованием Фурье спектра.

**Теорема 3 ([1]).** Код Гоппы в узком смысле над  $GF(q)$  длины  $n=q^m-1$ , задаваемый многочленом Гоппы  $G(x)$ , состоит из всех векторов  $c=(c_0, \dots, c_{n-1})$  над  $GF(q)$ , удовлетворяющих условию

$$(25) \quad \sum_{i=0}^{n-1} c_i \prod_{i' \neq i} (x - \alpha^{-i'}) = 0 \pmod{G(x)}.$$

Вернемся теперь к частному случаю двоичных кодов Гоппы, ограничиваясь тем случаем, когда многочлен Гоппы не имеет кратных корней ни в одном расширении данного поля. Такие коды Гоппы называются сепарабельными. Минимальное расстояние сепарабельных двоичных кодов Гоппы равно  $2r+1$ , где  $r$  – степень многочлена Гоппы. Это намного лучше, чем граница для произвольных кодов Гоппы, согласно которой  $d^* \geq r+1$ . Ключом к доказательству этого

утверждения является следующая теорема, накладывающая ограничения на многочлен, взаимный (возвратный) к локаторному многочлену.

Теорема 4 ([1]). Если определяющий двоичный код Гоппы в узком смысле многочлен Гоппы  $G(x)$  не имеет корней в поле  $GF(2^m)$ , то вектор  $c$  является кодовым словом тогда и только тогда, когда формальная производная  $\tilde{\Lambda}'_c(x)$  многочлена, взаимного к локаторному, делится на  $G(x)$ .

Доказательство. Формальная производная многочлена, взаимного к локаторному, равна

$$(26) \quad \tilde{\Lambda}'_c(x) = \sum_{i=1}^v \prod_{i' \neq i} (x - \beta_{i'}).$$

Поскольку код является двоичным, то  $c_i$  равны нулю или единице, и это выражение для  $\tilde{\Lambda}'_c(x)$  следует из формулы, приведенной в теореме 3.

Наименьшим кодом Гоппы является двоичный (8,2,5)-код Гоппы. Выберем  $G(x)=x^2+x+1$ . Корни этого многочлена различны и лежат в  $GF(4)$  и, следовательно, не могут лежать в  $GF(8)$ . Кодер для такого кода в частотной области изображен на рис. 2. Коды Гоппы очень перспективны.

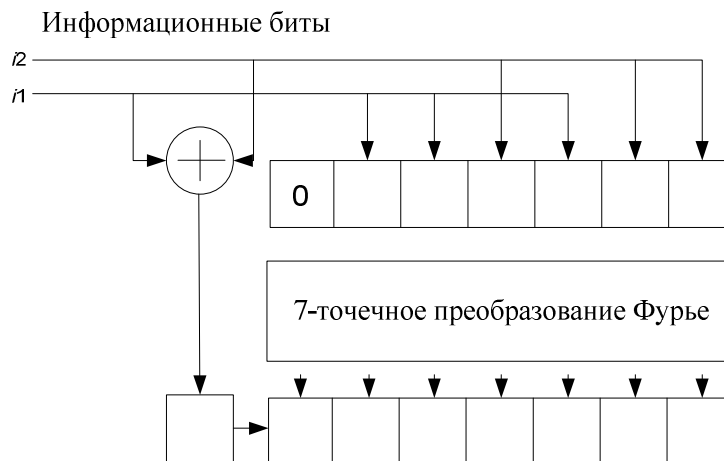


Рис. 2. Схема для (8,2,5)-кода Гоппы

Однонаправленной функцией хэширования или просто *хэш-функцией* называется преобразование информации, переводящее блок информации произвольной длины в блок фиксированной длины [6].

Хэш-функции должны обладать двумя основными свойствами: для данного значения функции  $h(M)$  невозможно найти аргумент  $M$ ; для данного аргумента  $M$  должно быть невозможно найти другой аргумент  $M'$  такой, что  $h(M)=h(M')$ .

Рассмотрим хэш-функции, в которых входной блок информации произвольной длины преобразуется в сжатый 128-битный образ. В каждом цикле хэш-функции MD4 используется своя цикловая функция  $f_j, 1 \leq j \leq 3$ , где обозначено

$$(27) \quad \begin{aligned} f_1 &= (X \wedge Y) \vee (\bar{X} \wedge Z); \\ f_2 &= (X \wedge Y) \vee (X \wedge Z) \vee (Y \wedge Z); \\ f_3 &= X \oplus Y \oplus Z. \end{aligned}$$

Схема MD5 сложнее MD4, однако результатом MD5 также является 128-битный хэш-образ. Перейдем к основному циклу алгоритма. Этот цикл продолжается, пока не исчерпаются 512-битные блоки сообщения. Стартовый вектор MD<sub>0</sub> имеет длину 128 бит и представляет собой конкатенацию четырех 32-битных слов  $md_0 || md_1 || md_2 || md_3$ , где  $md_0=01234567$ ,

$md_1=89abcdef$ ,  $md_2=fedcba98$ ,  $md_3=76543210$ . В алгоритме в отличие от MD4 используется четыре цикловые функции  $f_i$ ,  $1 \leq j \leq 4$ , где

$$\begin{aligned} f_1 &= (X \wedge Y) \vee (\bar{X} \wedge Z); \\ f_2 &= (X \wedge Z) \vee (X \wedge \bar{Z}); \\ (28) \quad f_3 &= X \oplus Y \oplus Z; \\ f_4 &= Y \oplus (X \wedge \bar{Z}). \end{aligned}$$

В основном цикле MD5 (рис. 3) 16-словного блока  $M_j$ ,  $1 \leq j \leq n$ , обрабатывается за четыре этапа, каждый из которых включает в себя 16 шагов. На каждом шаге  $i$ -го этапа вычисляется одно из значений  $a = b + ((a + f_i(b, c, d) + M_j[s] + t_i) \lll k)$ , где  $1 \leq j \leq 4$ ,  $M_j[s]$  - слово, выбранное из  $M$ ;  $s$ ;  $t_i$ ;  $k$  - параметры шага;  $x \lll k$  - циклический сдвиг значения  $x$  на  $k$  бит; «+» - операция сложения по модулю  $2^{32}$ . Причем вычисляемое слово меняется от шага к шагу.

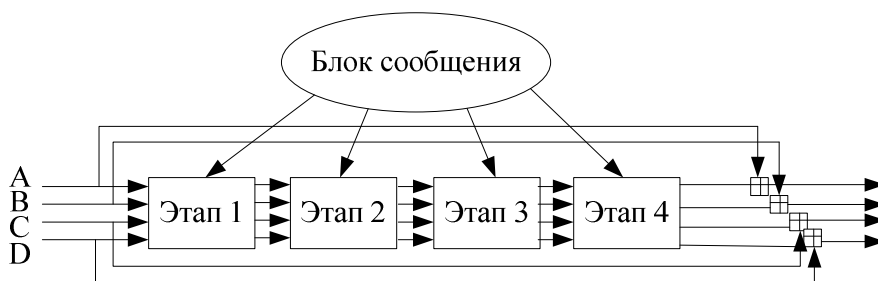


Рис. 3. Схема основного цикла алгоритма MD5

После обработки слова  $M_n$  итоговым сжатым образом сообщения будет 128-битная последовательность  $MD_n=A|B|C|D$ .

Функция MD5 оказалась стойкой по отношению к дифференциальному криптоанализу каждого из этапов. Комбинированное применение однонаправленных функций совместно с мощными помехоустойчивыми системами кодирования представляется весьма перспективным.

Итак, показана возможность использования помехоустойчивого кодирования сообщений автоматической локомотивной сигнализации, изучены некоторые кодеры, предложено применение кодов Гоппы и функций хэширования для противодействия не только техническим сбоям, но и целенаправленным действиям возможного злоумышленника в целях повышения защищенности передаваемой информации.

### Литература

1. Блейхут Р. Теория и практика кодов, контролирующих ошибки. - М.: «Мир», 1986 г., С. 25–27.
2. Казаков А.А. Автоблокировка, локомотивная сигнализация и автостопы. - М.: «Транспорт», 1980 г., С. 25–50.
3. Паршин А.В., Субботин Е.А. Теория передачи сигналов. - Екатеринбург: УрТИСИ ГОУ ВПО «СибГУТИ», 2004 г., С. 20–30.
4. Росс Н.В. Элементарное руководство по CRC-алгоритмам обнаружения ошибок. - Rocksoft, 1995 г., 36 с.
5. Финк Л.М. Теория передачи дискретных сообщений. - М.: изд-во «Советское радио», 1978 г., 731 с.
6. Яковлев В.В. Информационная безопасность и защита информации в корпоративных сетях железнодорожного транспорта. - М.: УМК МПС России, 2002 г., 265 с.